

# **ESTABILIDADE DIRECIONAL E EMPENAGEM**

J.A.P.Aranha

**1. MASSA ADICIONAL**

**2. MOMENTO DE MUNK**

**3. PERTURBAÇÃO NO MOVIMENTO UNIFORME E INSTABILIDADE**

**4. EMPENAGEM**

**5. ESTABILIDADE DE POSIÇÕES DE EQUILÍBRIO**

Abril de 2009

## 1. MASSA ADICIONAL

Seja um corpo com volume  $V$ , dimensão característica  $d$ , definida como o *diâmetro equivalente*  $V = (4\pi/3) \cdot (d/2)^3$ , e massa  $m$ , preso a uma mola com rigidez  $k$ ; para *pequenas oscilações* – e, no caso presente, podemos supor que isso implica em  $A \ll d$ , onde  $A$  é a amplitude da oscilação – a *frequência natural*  $\omega_n$  desse oscilador em um fluido pouco denso ( $\rho V \ll m$ , com  $\rho$  sendo a densidade do fluido) é dada por

$$\omega_n = \sqrt{\frac{k}{m}}. \quad (1a)$$

O movimento desse oscilador em um fluido denso – água, por exemplo, onde  $\rho V \approx m$  – é bem mais lento, com um período  $T_{n,a}$  maior e frequência  $\omega_{n,a} = 2\pi/T_{n,a}$  menor. Isso ocorre porque o deslocamento do corpo transmite ao fluido um movimento e a *energia cinética do fluido* soma-se à *energia cinética do corpo* aumentando a inércia do sistema hidro-mecânico. Se  $U(t)$  for a velocidade do corpo, as energias cinéticas do corpo e fluido, respectivamente  $T_c$  e  $T_f$ , podem ser expressas na forma

$$\left. \begin{array}{l} \circ T_c = \frac{1}{2} m U^2; \\ \circ T_f = \frac{1}{2} m_a U^2; \end{array} \right\} \Rightarrow T = T_c + T_f = \frac{1}{2} (m + m_a) U^2, \quad (1b)$$

onde  $m_a$ , a inércia adicionada pelo fluido ao oscilador, é denominada *massa adicional*; de (1b) segue

$$\omega_{n,a} = \sqrt{\frac{k}{m + m_a}}. \quad (1c)$$

### 1.1: Massa Adicional – Escoamento Bi-Dimensional

A massa adicional é da ordem de  $\rho V$ , pois essa é a escala de massa no problema, mas depende fundamentalmente da *direção do movimento*. Consideremos corpos bi-dimensionais no plano  $(x_1; x_2)$ . Para um *círculo* a massa adicional para um movimento na direção  $x_1$  é igual à massa adicional para um movimento na direção  $x_2$  e ambas são iguais a  $\rho V$ , conforme indicado na Fig.(1). Para uma *elipse* com eixo menor  $2b$ , perpendicular a  $x_1$ ,

e eixo maior  $2a$ , perpendicular a  $x_2$ , a massa adicional  $m_{11}$  é menor que  $m_{22}$ , a relação entre ambas sendo proporcional à *razão de esbeltez* ao quadrado ou

$$\frac{m_{11}}{m_{22}} = \left(\frac{b}{a}\right)^2. \quad (2)$$

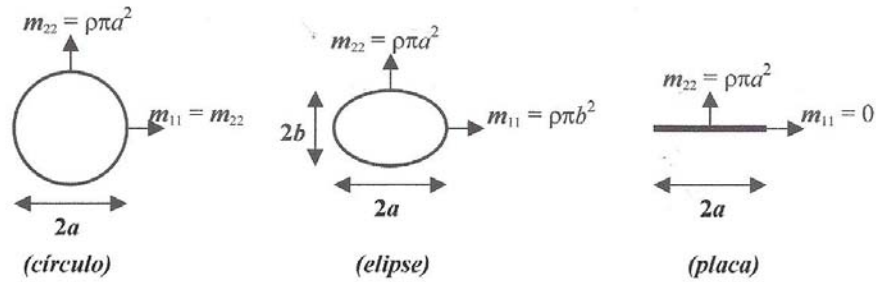


FIG.(1): *Escoamento Bi-Dimensional*: massas adicionais nas direções  $x_1$  e  $x_2$ .

### 1.2: Massa Adicional – Corpos de Revolução Esbeltos

Seja agora um corpo de revolução esbelto, com comprimento  $l$  na direção  $x_1$  e raio máximo  $r_0 \ll l$  no plano transversal ( $x_2; x_3$ ), onde  $\varepsilon = 2r_0/l \ll 1$ , ver Fig.(2).

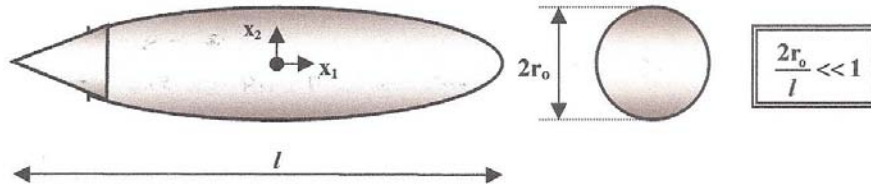


FIG.(2): *Corpo de Revolução Esbelto*;  $\varepsilon = 2r_0/l$ .

Consideremos o escoamento causado por um movimento do corpo com velocidade  $U_2$  na direção  $x_2$ . Como  $l/2r_0 = 1/\varepsilon \gg 1$ , em primeira aproximação o escoamento em torno de uma seção  $x_1 = \text{cte}$ . qualquer corresponde a um escoamento *bi-dimensional* em torno de um círculo de raio  $r(x_1)$ ; a energia cinética nesse plano é assim dada por (ver Fig.(1))

$$dT_f(x_1) = \frac{1}{2} \rho (\pi r(x_1))^2 U_2^2 dx_1.$$

Integrando em  $x_1$  e observando que o volume  $V$  do corpo é dado por

$$V = \pi \int_{-l/2}^{l/2} r^2(x_1) dx_1$$

obtém-se

$$\begin{aligned} \circ M_{22} &= \rho V; \\ \circ M_{11} / \rho V &\cong \mathcal{O}(\varepsilon^2 \ln \varepsilon), \quad \left( \varepsilon = \frac{2r_0}{l} \right) \end{aligned} \quad (3)$$

a última expressão sendo uma extensão *tri-dimensional* da relação (2) para a elipse.

A hipótese de esbeltez do corpo é fundamental neste resultado: uma esfera, por exemplo, é um corpo de revolução *não-esbelto* com massa adicional  $\frac{1}{2} \rho V$ .

## 2. MOMENTO DE MUNK

Os escoamentos no entorno de corpos são, em geral, profundamente rotacionais e a *força de arrasto* é diretamente proporcional ao *rotacional do campo de velocidades*. Nos problemas usuais de Engenharia, no entanto, o objetivo é definir geometrias – dos aviões, submarinos, navios, torpedos etc. – que minimizem a rotacionalidade do campo de velocidades e com ela a força de arrasto: em um bom projeto de Engenharia, portanto, a geometria do corpo deve ser de tal forma que garanta um escoamento “quase” irrotacional.

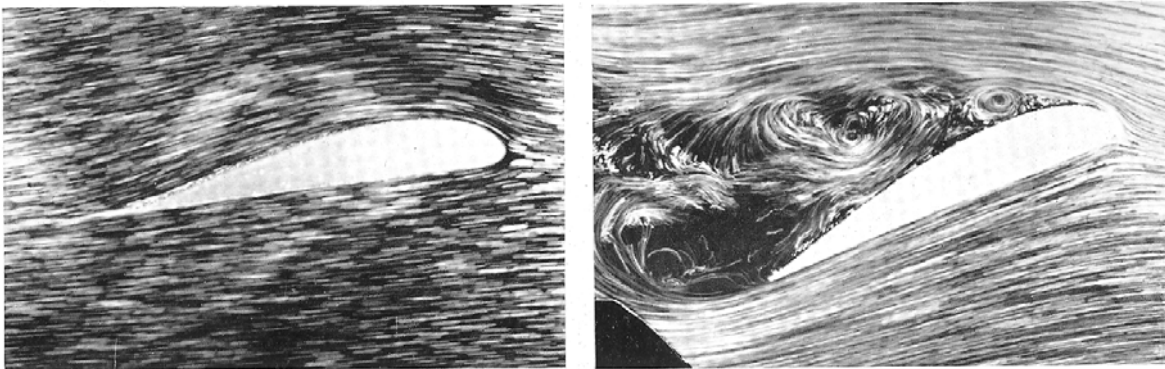


FIG.(3): *Esquerda:* Corpo esbelto (fólio) com pequeno ângulo de ataque em relação à corrente; escoamento “quase” irrotacional. *Direita:* Mesmo corpo com ângulo de ataque grande; o escoamento é rotacional (“estol”).

Como indicado na Fig.(3), os corpos afilados, orientados em uma direção quase paralela ao escoamento, produzem uma rotacionalidade “quase nula” no fluido e são, por isso, adequados para definirem as geometrias dos aviões, submarinos, navios, torpedos etc.

Em resumo, essas considerações motivam as seguintes hipóteses:

- i) Considerar corpos afilados com pequenos “ângulos de ataque” em relação ao escoamento incidente (como visto no sistema que se desloca com o corpo);
- ii) Supor que o escoamento seja irrotacional.

Como bem conhecido, um campo de forças  $\mathbf{F}(\mathbf{x},t)$  pode ser derivado de um potencial  $U(\mathbf{x},t)$  se o seu rotacional for nulo ou

$$\text{rot } \mathbf{F}(\mathbf{x},t) = \mathbf{0} \Leftrightarrow \mathbf{F}(\mathbf{x},t) = -\nabla U. \quad (\text{Teorema de Stokes})$$

De forma análoga, em um *escoamento irrotacional* tem-se  $\text{rot } \mathbf{u}(\mathbf{x},t) = \mathbf{0}$ , com  $\mathbf{u}(\mathbf{x},t)$  sendo o campo de velocidades, e portanto existe uma função escalar  $\phi(\mathbf{x},t)$ , denominada *potencial de velocidade*, tal que

$$\mathbf{u}(\mathbf{x},t) = \nabla \phi(\mathbf{x},t), \quad (4)$$

o campo de velocidades sendo então determinado pela equação de conservação de massa de um fluido incompressível,  $\text{div } \mathbf{u} = 0$  ou  $\nabla^2 \phi = 0$ . Essa equação é linear e pode-se aplicar, por isso, o princípio da superposição de efeitos: sejam assim  $\{\phi_j(\mathbf{x}); j = 1,2,3\}$  os potenciais de velocidade associados a *velocidades unitárias* do corpo nas direções  $\{\mathbf{e}_1; \mathbf{e}_2; \mathbf{e}_3\}$ ; se  $\mathbf{U}(t) = U_1(t) \mathbf{e}_1 + U_2(t) \mathbf{e}_2 + U_3(t) \mathbf{e}_3$  for a velocidade do corpo, o campo de velocidades  $\mathbf{u}(\mathbf{x},t)$ , induzido no fluido por esse movimento, é definido por

$$\mathbf{u}(\mathbf{x},t) = \sum_{i=1}^3 U_i(t) \cdot \nabla \phi_i(\mathbf{x}). \quad (5a)$$

Seja  $V_f$  o domínio fluido; a *energia cinética* do fluido é definida pela expressão

$$T_f = \frac{1}{2} \rho \int_{V_f} (\nabla \phi)^2 dV_f,$$

ou, com o auxílio de (5a), por

$$\begin{aligned} \circ T_f &= \frac{1}{2} \sum_{i=1}^3 \sum_{j=1}^3 M_{ij} U_i(t) U_j(t); \\ \circ M_{ij} &= \rho \int_{V_f} \nabla \phi_i \cdot \nabla \phi_j dV_f, \end{aligned} \quad (5b)$$

os coeficientes de inércia cruzados  $M_{ij}$ ,  $i \neq j$ , sendo nulos para um corpo de revolução; nesse caso tem-se

$$T_f = \frac{1}{2} \left( M_{11} \cdot U_1^2(t) + M_{22} \cdot U_2^2(t) + M_{33} \cdot U_3^2(t) \right). \quad (6a)$$

Da Mecânica Analítica segue que a *quantidade de movimento* integral no volume fluido é dada por,

$$\mathbf{P}(t) = \frac{\partial T_f}{\partial \mathbf{U}} = M_{11} \cdot U_1(t) \mathbf{e}_1 + M_{22} \cdot U_2(t) \mathbf{e}_2 + M_{33} \cdot U_3(t) \mathbf{e}_3, \quad (6b)$$

e da segunda lei de Newton

$$-\mathbf{F}(t) = \frac{d\mathbf{P}}{dt} = M_{11} \cdot \dot{U}_1(t) \mathbf{e}_1 + M_{22} \cdot \dot{U}_2(t) \mathbf{e}_2 + M_{33} \cdot \dot{U}_3(t) \mathbf{e}_3, \quad \left( \dot{U}_j = \frac{dU_j}{dt} \right) \quad (6c)$$

com  $\mathbf{F}(t)$  sendo a força que o fluido aplica no corpo. Em um *movimento uniforme* ( $dU_j/dt = 0$ ) a força é nula, um resultado esperado pelo menos no que toca a *força de arrasto*, a componente de  $\mathbf{F}$  na direção do movimento: como já citado, esta componente de força depende diretamente da rotacionalidade do escoamento, nula em um escoamento irrotacional. Como veremos a seguir, o momento, no entanto, é diferente de zero em geral.

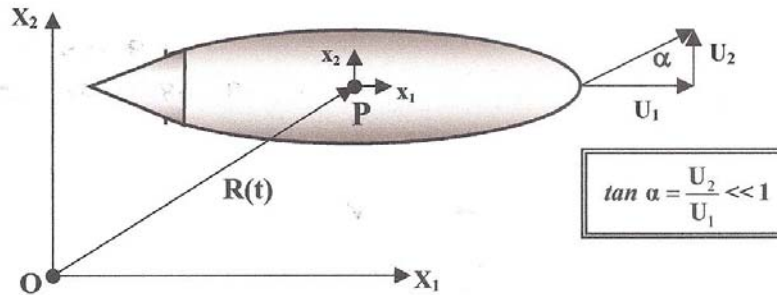


FIG.(4): Corpo de revolução se deslocando com velocidade  $\mathbf{U}$  (ângulo de ataque pequeno;  $\alpha \ll 1$ )

De fato, consideremos um corpo de revolução esbelto deslocando-se com velocidade uniforme  $\mathbf{U} = U_1\mathbf{e}_1 + U_2\mathbf{e}_2$  através de um fluido em repouso no infinito; sejam também (O;  $X_1$ ;  $X_2$ ;  $X_3$ ) um sistema de referências fixo no espaço e  $\mathbf{R}(t)$  o raio vetor da origem P do sistema (P;  $x_1$ ;  $x_2$ ;  $x_3$ ) fixo no corpo em relação ao sistema espacial; da cinemática segue

$$\dot{\mathbf{R}}(t) = \mathbf{U}. \quad (7a)$$

A *quantidade de movimento angular*  $\mathbf{A}_o(t)$  em relação a O é dada pelo produto vetorial  $\mathbf{R}(t) \wedge \mathbf{P}$  e a variação no tempo de  $\mathbf{A}_o(t)$  é igual ao momento  $-\mathbf{N}_o = \mathbf{U} \wedge \mathbf{P}$  aplicada pelo corpo no fluido, pois  $-\mathbf{F} = d\mathbf{P}/dt = \mathbf{0}$ ; no caso, o vetor velocidade  $\mathbf{U}$  não é paralelo ao vetor quantidade de movimento  $\mathbf{P}$ , pois  $M_{22} \neq M_{11}$ , e portanto o momento  $\mathbf{N}_o$ , aplicado pelo fluido no corpo, fica dado pela expressão

$$\left. \begin{array}{l} \circ \mathbf{A}_o(t) = \mathbf{R}(t) \wedge \mathbf{P}; \\ \circ -\mathbf{N}_o = \dot{\mathbf{A}}_o(t) = \dot{\mathbf{R}}(t) \wedge \mathbf{P} = \mathbf{U} \wedge \mathbf{P}; \end{array} \right\} \Rightarrow \mathbf{N}_o = - (M_{22} - M_{11}) U_1 U_2 \mathbf{e}_3. \quad (7b)$$

Este é o *momento de Munk*, com uma importância fundamental na estabilidade direcional de corpos esbeltos, como discutido a seguir.

### 3. PERTURBAÇÃO NO MOVIMENTO UNIFORME E INSTABILIDADE

Seja o corpo de revolução esbelto acima analisado, com *centro de massa* coincidente com a origem P do sistema local e distante cerca de  $\frac{1}{2} l$  das extremidades, e consideremos que ele se desloca em sua direção longitudinal com velocidade  $U \mathbf{e}_1$  constante. Todas as forças atuantes – fluidas, de propulsão e peso próprio – transportadas para P fornecem resultante nula com um momento também nulo. Suponhamos que em uma determinada região de sua trajetória o corpo encontre uma “turbulência” e receba um “impulso vertical”, o efeito líquido deste impulso sendo uma velocidade “vertical”  $U_2 = \tan \alpha \cdot U = U \cdot \alpha$ , impondo um “ângulo de ataque”  $\alpha \ll 1$ , ver figuras (4) e (5).

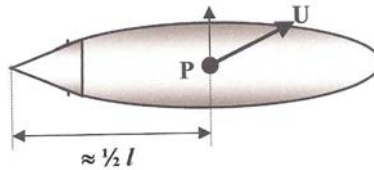


FIG.(5): Corpo de revolução *esbelto* deslocando-se com  $U \mathbf{e}_1$  encontrando uma “turbulência” que impõe um ângulo de ataque  $\alpha = U_2 / U \ll 1$ .

O ângulo de ataque  $\alpha = U_2 / U$  faz surgir um *momento de Munk*  $\mathbf{N}_o$  dado por

$$\left. \begin{array}{l} \circ \mathbf{N}_o \cong -\rho V \cdot U^2 \alpha \mathbf{e}_3; \\ \circ V = \int_{-l/2}^{l/2} \pi r^2(x) dx; \end{array} \right\} \text{ com } \begin{cases} \circ V = \pi r_o^2 l & (\text{cilindro}) \\ \circ V = \frac{2}{3} \pi r_o^2 l & (\text{elipsóide}) \\ \circ V = \frac{8}{15} \pi r_o^2 l & (\text{parabolóide}) \end{cases} \quad (8a)$$

pois  $M_{22} \cong \rho V$  e  $M_{11} \cong 0$ , ver (3) com  $\varepsilon \ll 1$ .

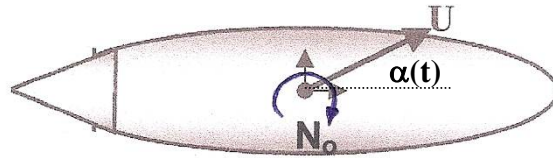


FIG.(6): Efeito desestabilizador do momento de Munk: aumento do ângulo de ataque  $\alpha(t)$ .

Seja  $\alpha(t)$  o ângulo entre o vetor velocidade  $\mathbf{U}$  e o versor  $\mathbf{e}_1$ , crescente no sentido do momento  $\mathbf{N}_o$  indicado na Fig.(6), pois o vetor  $\mathbf{U}$  está fixo no espaço e o corpo gira sob a ação de  $\mathbf{N}_o$ . Supondo que  $(P; x_1; x_2; x_3)$ , com origem no “centro de massa”  $P$  do corpo, defina os eixos principais de inércia, da dinâmica de corpo rígido tem-se, quando se desprezam termos da ordem  $\alpha^2$  e o momento de inércia adicional  $I_{33,a} \ll I_{33}$ ,

$$\left. \begin{array}{l} \circ I_{33} \cdot \ddot{\alpha} = \rho V U^2 \cdot \alpha; \\ \circ \varpi^2 = \frac{\rho V U^2}{I_{33}}; \end{array} \right\} \Rightarrow \alpha(t) = \alpha(0) \cdot \cosh(\varpi \cdot t), \quad (8b)$$

mostrando explicitamente o efeito desestabilizador do *momento de Munk*: dada uma perturbação inicial  $\alpha(0)$ , o ângulo  $\alpha(t)$  cresce exponencialmente com o tempo. É evidente que este crescimento exponencial se dá logo no início pois, à medida que  $\alpha(t)$  cresce, a *hipótese de irrotacionalidade* do escoamento vai perdendo a validade, como indicado na Fig.(3), e o modelo matemático tem que ser corrigido; de qualquer forma, para valores “grandes” de  $\alpha(t)$  a aeronave “estola”, com um aumento brutal da força de arrasto e concomitante perda de sustentação. A solução clássica para evitar essa *instabilidade*, conhecida de tempos imemoriais no “projeto” de flechas, é colocar na ré da fuselagem superfícies de sustentação (asas), denominadas “empenagens”<sup>1</sup>, discutidas a seguir.

<sup>1</sup> Do francês *empennage*, penas de uma flecha, de *empenner*, colocar penas em uma flecha.



## 4. EMPENAGEM

Consideremos o corpo deslocando-se com velocidade  $U$  em uma direção que faz um ângulo  $\alpha$  com o eixo longitudinal  $x_1$ ; no sistema de referências *inercial* que se desloca junto com o corpo, a empenagem na ré da aeronave vê um escoamento  $U$  incidindo com um “ângulo de ataque”  $\alpha \ll 1$ , como indicado esquematicamente na Fig.(7a).

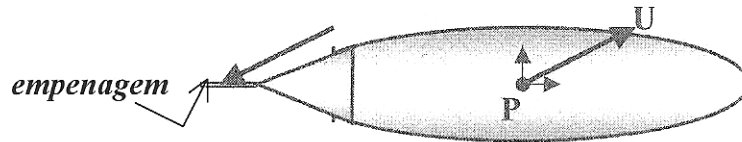


FIG.(7a): *Estabilizador*: Empenagem a ré da aeronave  
(Vista no plano “vertical” ( $x_1$ ;  $x_2$ ))

A Fig.(7b) mostra o plano horizontal ( $x_1$ ;  $x_3$ ) da empenagem com sua seção transversal no plano vertical ( $x_1$ ;  $x_2$ ). A geometria da seção transversal, representada aí por uma elipse, é denominada *fólio* e possui uma forma geométrica característica: o *bordo de ataque* é arredondado, como na elipse, mas o *bordo de fuga* termina em um bico, com ângulo interno relativamente pequeno: o corte vertical do corpo de revolução apresentado na Fig.(2) tem a forma típica de um *fólio*<sup>2</sup>.

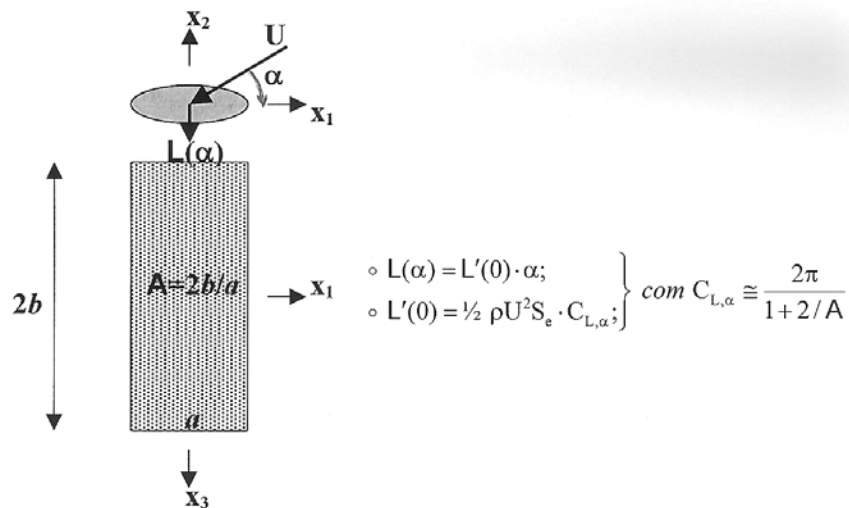


FIG.(7b): *Força de sustentação*  $L(\alpha)$  devida  
à empenagem no plano “horizontal” ( $x_1$ ;  $x_3$ ).

<sup>2</sup> Segundo se relata na literatura – ver Von Karman (1954), *Aerodynamics*, McGraw-Hill a geometria dos *fólios* foi inspirada pela observação de peixes (trutas) cortados no plano longitudinal.

Supondo que o f3lio seja, como a elipse 3, sim3trico em rela33o ao eixo  $x_1$ , a *for3a de sustentaa3o*  $L_{(2D)}(\alpha)$ , por unidade de comprimento na dire33o  $x_3$ , 3 nula se  $\alpha = 0$ ; para um 3ngulo de ataque pequeno, mas positivo, a simetria entre o escoamento e f3lio 3 quebrada e aparece uma for3a de sustentaa3o  $L_{(2D)}(\alpha)$  como indicada na figura. Expandindo a fun33o  $L_{(2D)}(\alpha)$  em *s3rie de Taylor* em torno de  $\alpha = 0$  obt3m-se  $L_{(2D)}(\alpha) = L_{(2D)}(0) + (dL_{(2D)}/d\alpha)_0 \cdot \alpha + \dots$  e como  $L_{(2D)}(0) = 0$  conclui-se que  $L_{(2D)}(\alpha) \cong (dL_{(2D)}/d\alpha)_0 \cdot \alpha$  para um 3ngulo de ataque pequeno; normalizando essa *for3a por unidade de comprimento* pela escala t3pica  $\frac{1}{2} \rho U^2 \cdot a$ , com  $a$  sendo a corda do f3lio, tem-se  $L_{(2D)}(\alpha) / \frac{1}{2} \rho U^2 \cdot a \cong C_{L,\alpha} \cdot \alpha$ : 3 poss3vel demonstrar teoricamente e verificar experimentalmente que  $C_{L,\alpha} \cong 2\pi$ . Uma asa, no entanto, n3o 3 “infinitamente longa”, embora seja tanto mais esbelta quanto maior for sua *raz3o de aspecto*  $A = s^2/S_e$ , com  $S_e$  sendo a 3rea da asa, igual a  $2ba$  na Fig.(7b), e  $s = 2b$  sua envergadura. A finitude da asa diminui o valor de  $C_{L,\alpha}$  por um fator que depende da raz3o de aspecto  $A$  e da geometria da asa; para uma asa com forma el3ptica no plano horizontal ( $x_1; x_3$ ) – e n3o retangular, como indicado na Fig.(7b) – pode-se demonstrar teoricamente e verificar experimentalmente que

$$C_{L,\alpha} \cong \frac{2\pi}{1 + \frac{2}{A}}, \quad (9a)$$

um resultado que recupera o resultado do f3lio no limite  $A \rightarrow \infty$  ( $s \rightarrow \infty$ ). Dessa maneira

$$L(\alpha) = \int_{-1/2 \cdot s}^{1/2 \cdot s} L_{(2D)}(\alpha; x_3) dx_3 = \frac{1}{2} \rho U^2 \cdot C_{L,\alpha} \cdot \left( \int_{-b}^b a(x_3) dx_3 \right) \cdot \alpha = \frac{1}{2} \rho U^2 S_e \cdot C_{L,\alpha} \cdot \alpha, \quad (9b)$$

com  $S_e = 2ba$  sendo a 3rea da empenagem. O momento de  $L(\alpha)$  em rela33o ao “centro de massa”  $P$  3 aproximadamente igual a  $L(\alpha) \cdot \frac{1}{2}l$  e deve ser maior que o *momento de Munk*  $N_o$  para estabilizar a aeronave; observando que o volume  $V$  do corpo de revolu33o 3 dado por  $\gamma \cdot \pi r_o^2$ , com  $\gamma = 1$  para uma superf3cie cil3ndrica,  $\gamma = 2/3$  para um elips3ide de revolu33o e  $\gamma = 8/15$  para um parabol3ide de revolu33o, para uma empenagem com raz3o de aspecto 3 tem-se

$$\left. \begin{array}{l} \circ L(\alpha) \cdot \frac{1}{2}l > N_o = \rho V \cdot U^2 \alpha; \\ \circ V = \gamma \cdot \pi r_o^2 l; \end{array} \right\} \Rightarrow \left( \frac{b}{r_o} \right)^2 > \frac{5\gamma}{2} \begin{cases} = 5/2 & (\text{cilindro}); \\ = 5/3 & (\text{elips3ide}); \\ = 4/3 & (\text{parabol3ide}), \end{cases} \quad \left( A = \frac{2b}{a} = 3 \right) \quad (10)$$

levando à seguinte conclusão: a meia envergadura  $b$  da empenagem deve ser maior que o máximo raio  $r_o$  da fuselagem.

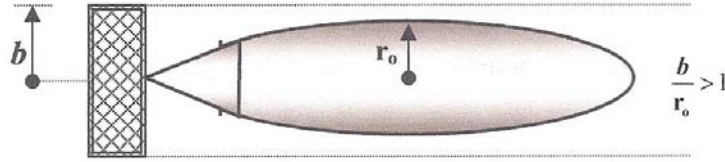


FIG.(8): Vista no plano  $(x_1; x_3)$ , apresentando a envergadura da empenagem e diâmetro máximo da fuselagem.

Geometricamente, olhando de frente a aeronave conseguimos sempre ver as extremidades da empenagem, como esquematicamente indicado na Fig.(8) e verificado na prática.

## 5. ESTABILIDADE DE POSIÇÕES DE EQUILÍBRIO

Retomaremos aqui o estudo da *estabilidade direcional* da aeronave com o intuito de mostrar que ele é caso particular de um problema mais geral, da estabilidade de *posições de equilíbrio* de um sistema dinâmico.

No caso em questão devemos, antes de tudo, reconhecer que posição de equilíbrio é esta cuja estabilidade estamos estudando. Consideremos assim a aeronave acima analisada, sua empenagem tendo uma semi-envergadura  $b$  de forma que a condição de estabilidade se cumpra: a aeronave encontra-se, nesse caso, em uma *posição de equilíbrio* no sistema inercial que se desloca com  $U\mathbf{e}_1$  e é a estabilidade dessa “posição de equilíbrio” que se pretende estudar. Do ponto de vista do projeto, a questão é *dimensionar* a empenagem e por isso suporemos que a geometria da asa – se elíptica, retangular, etc. – esteja definida: a semi-envergadura  $b$ , que define, juntamente com a razão de aspecto  $A$ , as dimensões da empenagem, é assim o parâmetro de controle nesse dimensionamento.

Recordando a equação dinâmica<sup>3</sup>,

$$\left. \begin{array}{l} \circ N_o(\alpha) = \rho V \cdot U^2 \alpha; \\ \circ L(\alpha) \cdot \frac{1}{2}l = \frac{1}{2}\rho U^2 S_e \cdot C_{L,\alpha} \cdot \alpha \end{array} \right\} \Rightarrow I_{33} \cdot \ddot{\alpha} = N_o(\alpha) - L(\alpha) \cdot \frac{1}{2}l, \quad (11a)$$

<sup>3</sup> A equação dinâmica é fundamental aqui, pois é ela que define o ponto P – o *centro de massa* – em relação ao qual deve-se tomar o momento da força  $L(\alpha)$  devido à empenagem.

o valor crítico  $b_{cr}$  da semi-envergadura da empenagem é definido pela *relação estática*

$$b = b_{cr} \Leftrightarrow N_o(\alpha) - L(\alpha) \cdot \frac{1}{2}l = 0 \quad (11b)$$

que pode ser assim traduzida: o *momento desestabilizador* – o momento de Munk  $N_o(\alpha)$  – deve igualar o *momento estabilizador*  $L(\alpha) \cdot \frac{1}{2}l$  devido à empenagem.

Supondo  $C_{L,\alpha} \cong 2\pi/(1+2/A)$ , obtém-se

$$b_{cr}^2 = \frac{\gamma r_o^2}{2} (A + 2), \quad \left( V = \gamma \cdot \pi r_o^2 l; A = \frac{2b}{a} \right) \quad (11c)$$

o valor crítico  $b_{cr}$  crescendo com a razão de aspecto  $A$  por uma razão simples: a força de sustentação na empenagem é diretamente proporcional à área  $S_e = 4b^2/A$ . Colocando (11c) em (11a), a seguinte equação é obtida

$$\begin{aligned} \circ \ddot{\alpha} + \omega_{(\lambda)}^2 (1 - \lambda) \alpha &= 0; \\ \circ \lambda &= \left( \frac{b_{cr}}{b} \right)^2, \end{aligned} \quad \left( \omega_{(\lambda)}^2 = \frac{1}{\lambda} \frac{\rho V \cdot U^2}{I_{33}} \right) \quad (12a)$$

com solução da forma,

$$\varpi = \omega_{(\lambda)} \cdot |1 - \lambda|^{1/2} \Rightarrow \begin{cases} \circ \lambda < 1 \Rightarrow \alpha(t) = \alpha_o \cdot \cos(\varpi t); \\ \circ \lambda > 1 \Rightarrow \alpha(t) = \alpha_o \cdot \cosh(\varpi t), \end{cases} \quad (12b)$$

$\alpha_o$  sendo a perturbação inicial. Para  $\lambda < 1$  (*regime estável*) a perturbação inicial causa uma *oscilação* da aeronave com amplitude  $\alpha_o$ , que lentamente deve ser amortecida por forças dissipativas não contabilizadas neste modelo; para  $\lambda > 1$  (*regime instável*) a perturbação inicial cresce exponencialmente com o tempo e não há dissipação linear finita capaz de limitar este crescimento.

De fato, adicionando um termo de amortecimento, a equação dinâmica toma a forma

$$\ddot{\alpha} + 2\zeta\varpi \cdot \dot{\alpha} \pm \varpi^2 \alpha = 0 \quad \text{com} \quad \begin{cases} \circ + \varpi^2 \alpha \Leftrightarrow \lambda < 1; \\ \circ - \varpi^2 \alpha \Leftrightarrow \lambda > 1, \end{cases} \quad (13a)$$

com solução dada por

$$\alpha(t) = \alpha_o \cdot e^{pt} \Leftrightarrow p = -\zeta\varpi \pm \sqrt{(\zeta\varpi)^2 - \varpi^2}$$

e portanto

$$\begin{aligned} \circ \lambda < 1 \Rightarrow p|_{\zeta \ll 1} &= \pm i\varpi - \zeta\varpi \Rightarrow \alpha(t) = \alpha_o \cdot e^{-\zeta\varpi t} \cdot \cos \varpi t; \\ \circ \lambda > 1 \Rightarrow p|_{\zeta \gg 1} &= 1/2(\varpi/\zeta) \Rightarrow \alpha(t) = \alpha_o \cdot e^{1/2(\varpi/\zeta)t}, \end{aligned} \quad (13b)$$

indicando o decréscimo exponencial da solução estável, mesmo para um amortecimento muito baixo ( $\zeta \ll 1$ ), e o crescimento exponencial da solução instável, mesmo para um amortecimento muito grande ( $\zeta \gg 1$ ).

Com o objetivo de mostrar que o problema aqui analisado é só um caso particular de uma classe muito mais ampla de problemas, analisaremos, a seguir, um problema fundamental da Resistência dos Materiais.

#### 4.1: Flambagem de Vigas

Quando se segura uma régua de plástico em uma extremidade e se pressiona a outra extremidade, para um dado valor da pressão a régua sai de sua posição reta de equilíbrio e “embarriga”: este é o fenômeno da “flambagem de vigas”, fundamental no projeto de membros estruturais comprimidos, como as colunas de um edifício, por exemplo,

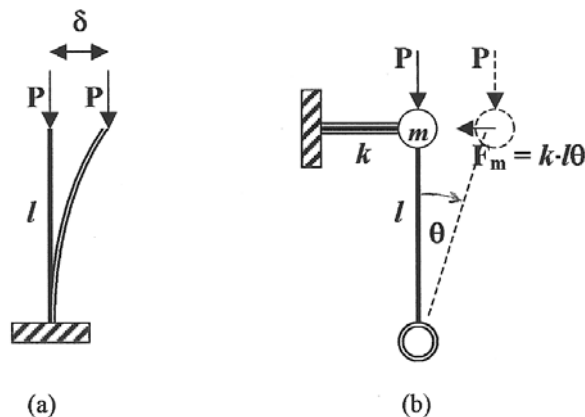


FIG.(10): (a) Flambagem de viga engastada de comprimento  $l$  e rigidez  $EJ$ ; (b) Barra rígida articulada e apoiada lateralmente em mola com  $k = 3EJ/l^3$ .

A Fig.(10a) representa uma viga, de comprimento  $l$ , engastada em sua extremidade inferior e sujeita a uma carga compressiva  $P$  em sua extremidade superior; se  $E$  for o modo

de elasticidade do material e  $J$  for o (menor) momento de inércia da seção transversal, a *rigidez flexional* da viga é definida pelo produto  $EJ$ . Em primeira aproximação, a viga pode ser substituída por uma *barra rígida* de comprimento  $l$ , articulada em sua extremidade inferior e apoiada lateralmente em uma *mola* com rigidez  $k$ , emulando a rigidez flexional, ver Fig.(10b). O valor de  $k$  pode ser estimado obrigando que o deslocamento lateral  $\delta$  da mola sob ação de uma carga lateral  $Q$  seja o mesmo da viga, dado por  $\delta = Ql^3/3EJ$ , de acordo com o esquema apresentado na Fig.(11); portanto  $k = 3EJ/l^3$ .

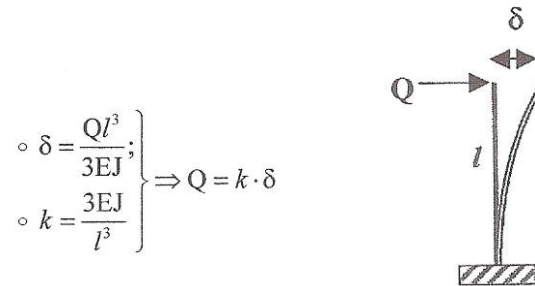


FIG.(11): Equivalência entre rigidez flexional da viga e a constante de mola  $k$  do modelo.

No projeto da viga, a carga  $P$  é dada e o parâmetro de controle é a rigidez  $EJ$  da viga ou a constante de mola  $k$  no modelo simplificado. A *posição trivial de equilíbrio* cuja estabilidade pretende-se estudar corresponde à *barra rígida* na posição vertical e a análise da estabilidade começa por admitir uma perturbação “infinitesimal”  $\theta$ , como indicado na Fig.(10b); dois momentos em relação à articulação surgem então: um *estabilizador*, relacionado ao momento  $(k \cdot l \theta) \cdot l$  oriundo da “*rigidez flexional*”; outro *desestabilizador*, relacionado ao momento  $P \cdot l \theta$ . Se  $k \cdot l > P$ , a barra retorna à posição vertical e a posição trivial é estável; se  $k \cdot l < P$ , a barra se afasta da posição vertical e a posição trivial é instável: a estabilidade exige, portanto, que  $k > k_{cr} = 3(EJ)_{cr}/l^3 = P/l$  (ou  $EJ > Pl^2/3$ ), um resultado semelhante ao do problema da empenagem, onde  $b > b_{cr}$ .

No projeto de uma coluna, portanto, dada a carga vertical  $P$  e o comprimento  $l$ , as dimensões da seção transversal têm que ser escolhidas de tal forma que  $EJ > Pl^2/3$ ; caso contrário, a coluna embarriga e, em geral, se rompe. É usual, no entanto, apresentar este resultado de uma forma diferente: a rigidez é dada (a coluna é dada) e o problema é determinar a *carga de flambagem*  $P_{cr}$ , o valor acima do qual a posição trivial deixa de ser estável. Assim

$$P_{cr} = k \cdot l = \frac{3EJ}{l^2}, \quad (14a)$$

um valor  $12/\pi^2$  vezes maior que o valor exato para a viga da Fig.(10a).

O problema de estabilidade aqui tratado pode (e deve) ser analisado dinamicamente. Supondo uma massa  $m$  na extremidade superior, das expressões da energia cinética  $T$  e potencial  $U$  segue

$$\left. \begin{array}{l} \circ T(\dot{\theta}) = \frac{1}{2} m (\dot{l}\dot{\theta})^2; \\ \circ U(\theta) = \frac{1}{2} k (l\theta)^2 - \frac{1}{2} Pl\theta^2; \end{array} \right\} \Rightarrow \frac{d}{dt} \left( \frac{\partial T}{\partial \dot{\theta}} \right) = - \frac{\partial U}{\partial \theta} \Rightarrow ml^2\ddot{\theta} = P \cdot l\theta - kl\theta \cdot l$$

e portanto

$$\left. \begin{array}{l} \circ P_{cr} = k \cdot l = \frac{3EJ}{l^2}; \\ \circ \lambda = \frac{P}{P_{cr}}; \end{array} \right\} \Rightarrow \ddot{\theta} + \omega^2 (1 - \lambda) \cdot \theta = 0, \quad \left( \omega = \sqrt{\frac{k}{m}}; P_{cr} = \frac{12}{\pi^2} (P_{cr})_{exato} \right) \quad (14b)$$

com solução da forma (ver (12b))

$$\varpi = \omega \cdot |1 - \lambda|^{1/2} \Rightarrow \begin{cases} \circ \lambda < 1 \Rightarrow \theta(t) = \theta_0 \cdot \cos(\varpi t); \\ \circ \lambda > 1 \Rightarrow \theta(t) = \theta_0 \cdot \cosh(\varpi t), \end{cases} \quad (14c)$$

$\theta_0$  sendo a perturbação inicial. Concluindo, o critério de estabilidade pode, no caso, ser obtido diretamente a partir da *segunda derivada* da energia potencial  $U(\theta)$  pois

$$\left. \begin{array}{l} \circ U(\theta) = \frac{1}{2} (1 - \lambda) l\theta^2; \\ \circ U''(\theta) = (1 - \lambda) l; \end{array} \right\} \Rightarrow \begin{cases} \circ U''(0) > 0 \Leftrightarrow \lambda < 1: (estável); \\ \circ U''(0) < 0 \Leftrightarrow \lambda > 1: (instável), \end{cases} \quad (14d)$$

a imagem de uma partícula nos pontos de *mínimo* e *máximo* da função potencial tendo um apelo direto, em analogia com os vales e picos do campo gravitacional. Em sistemas *não-conservativos*, no entanto, não só as forças não podem ser mais representadas pelos gradientes de um campo potencial como, em geral, o *critério estático*, utilizado para derivar (14a), perde o sentido: no caso geral, a *estabilidade* de uma posição de equilíbrio deve ser estudada a partir das *equações dinâmicas* que regem o movimento das *pequenas perturbações* no entorno da posição de equilíbrio.

\* \* \*